

СИСТЕМНЫЙ АНАЛИЗ ПРОЦЕССОВ РАСПРОСТРАНЕНИЯ ВРЕДНЫХ ПРИМЕСЕЙ В АТМОСФЕРЕ

В.В. ЗАВОДНИК

Проведен анализ процессов распространения вредных примесей в атмосфере. Предложен модифицированный алгоритм решения системы линейных уравнений большой размерности с разреженной матрицей коэффициентов, полученной на основе использования схемы упорядочения узлов дискретной сетки D4, значительно упрощающей процедуру решения численного аналога редуцированных моделей этих процессов, описанных дифференциальными уравнениями в частных производных параболического типа.

Сокращение вредных выбросов химической, металлургической, нефтеперерабатывающей, газовой и других отраслей производства — одна из важнейших проблем цивилизации, практическая необходимость решения которой обоснована в Киотском протоколе.

Масштабность распространения и многофакторность воздействия выбросов на биосферу, ноосферу и климат Земли определяют необходимость системного исследования многих глобальных процессов. Среди них особое место занимают процессы загрязнения окружающей среды как основы жизни и деятельности населения планеты. Системные исследования воздействия вредных выбросов на качество окружающей среды и экологическую обстановку выполняют во многих странах как в масштабе отдельной страны, так и в мировом масштабе в соответствии с решениями ООН [1,2]

Цель настоящей работы — предложить новый подход к исследованию процессов распространения вредных выбросов в виде примесей в атмосферу.

Исходной информацией для исследования задаются типовые данные системы атмосферного мониторинга и прогнозирования состояния воздушного бассейна, на основе которых создаются математические модели распространения вредных примесей в атмосфере, описываемые детерминированными дифференциальными уравнениями в частных производных параболического типа, отражающими процессы диффузии, переноса, диссипации и фотохимических реакций. Одним из главных элементов анализа является формирование дискретного аналога модели, полученного в результате ее редукции и представленного матричным уравнением состояния. При решении реальных задач отличительная черта аналога — это большой порядок рассматриваемых векторно-матричных соотношений, обусловленный 3-мерной сеткой дискретизации по пространственным координатам и значительной разреженностью матрицы коэффициентов (количество нулевых элементов составляет не более 0,3% общего числа). Поэтому применение типовых подходов к таким задачам без учета структуры матрицы коэффициентов приводит к неприемлемым с практической точки зрения затратам оперативной памяти вычислительной системы. Предлагаемый подход основан на методе реализации матричного уравнения, который базируется на

модифицированном алгоритме его решения с применением схемы упорядочения неизвестных с чередующимися диагональными плоскостями, впервые предложенной Прайсом и Коатсом [3]. Это позволяет повысить быстродействие вычислительной системы обработки исходной информации о состоянии воздушного бассейна.

Перейдем к математической формализации уравнений и разработке алгоритма их решения. Процесс распространения вредных газообразных примесей в атмосфере будем рассматривать в 3-мерной области Ω с боковой поверхностью $\partial\Omega$ и поверхностями нижнего и верхнего основания соответственно $\partial\Omega_{\text{н}}$ ($z_3 = 0$) и $\partial\Omega_{\text{в}}$ ($z_3 = h$), динамику процесса опишем дифференциальным уравнением в частных производных вида [4] с соответствующими граничными и начальными условиями.

$$\frac{\partial q(t, \mathbf{z})}{\partial t} + (\mathbf{u}, \text{grad } q(t, \mathbf{z})) - \sum_{i=1}^3 \frac{\partial}{\partial z_i} \left(\mu_{z_i}(t) \frac{\partial q(t, \mathbf{z})}{\partial z_i} \right) + \sigma q(t, \mathbf{z}) = f(t, \mathbf{z}). \quad (1)$$

Начальные и граничные условия имеют вид

$$\left. \frac{\partial q(t, \mathbf{z})}{\partial \mathbf{n}} \right|_{\mathbf{z} \in \partial\Omega_{\text{в}}} = 0, \quad (\mathbf{u}, \mathbf{n}) > 0, \quad q(t, \mathbf{z}) = 0, \quad \mathbf{z} \in \partial\Omega_{\text{в}}, \quad (\mathbf{u}, \mathbf{n}) < 0, \\ \left. \frac{\partial q(t, \mathbf{z})}{\partial z_3} \right|_{z_3=0} = \alpha_{\text{в}} q(t, 0), \quad q(t, h) = 0, \quad (2)$$

$$\frac{\partial q(t, \mathbf{z})}{\partial \mathbf{n}} = \lambda (q_{\text{вне}} - q_{\text{на}}) \text{ на боковой границе } \partial\Omega, \\ q(t, \mathbf{z}) = q_0(\mathbf{z}), \quad t = 0. \quad (3)$$

Функция источников (типа «заводская труба») описана следующим образом:

$$f(t, \mathbf{z}) = \sum_{i=1}^m U_i(t) \delta(\mathbf{z} - \mathbf{z}^i),$$

где $q(t, \mathbf{z})$ — концентрация вредного ингредиента в точке пространства; $\mathbf{z} = (x, y, z) \in \Omega$; $\mathbf{u} = (u, v, \omega)$ — вектор скорости ветра, подчиняющийся условию неразрывности; μ — коэффициент турбулентной диффузии; σ — коэффициент поглощения примеси; m — общее количество источников загрязнения со своими координатами; $\alpha_{\text{в}}$ — коэффициент взаимодействия с подстилающей поверхностью; $U_i(t)$ — интенсивность выбросов i -го источника (по количеству ингредиента), расположенного в точке \mathbf{z}^i ; \mathbf{n} — нормаль к границе слоя; $q_{\text{вне}}$ и $q_{\text{на}}$ — концентрации ингредиента соответственно за границей слоя и на его границе; $\delta(\mathbf{z}, \mathbf{z}^i)$ — дельта-функция Дирака, определяющая точку расположения источника.

Редуцировав модель, описанную уравнениями (1)–(3), применяя метод конечных разностей второго порядка по 7-точечному шаблону (рис. 1) и

схему Кранка-Николсона [5], получаем конечномерную численную модель исходного аналога.

$$\begin{aligned}
 & AX_{n-1,p,k} + BX_{n,p,k} + CX_{n+1,p,k} + DX_{n,p-1,k} + EX_{n,p+1,k} + \\
 & + GX_{n,p,k-1} + HX_{n,p,k+1} = F_{n,p,k}.
 \end{aligned}
 \tag{4}$$

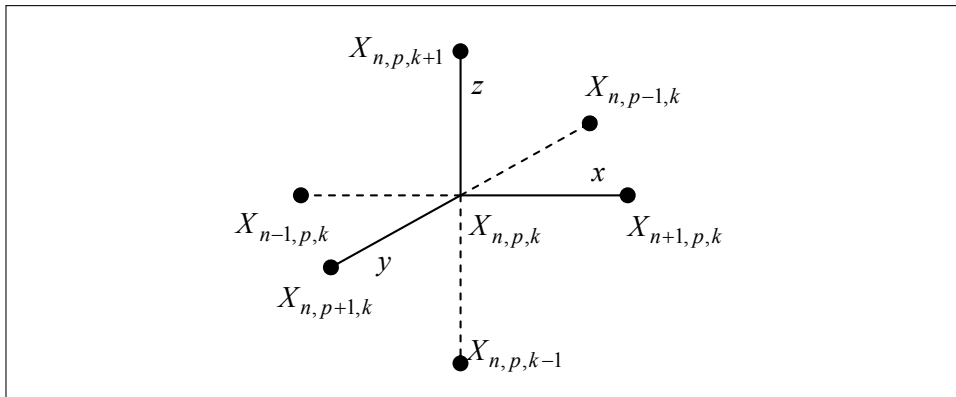


Рис. 1. Схема 7- точечного шаблона дискретизации

Уравнение (4) для всех \mathbf{X} можно привести к матричному виду

$$\mathbf{A} \mathbf{X} = \mathbf{B}.
 \tag{5}$$

Одним из наиболее эффективных методов реализации матричных моделей (5) распределенных процессов (1)–(3) является схема упорядочения узлов сетки дискретизации D4 [6]. Это прямой метод решения систем линейных уравнений большой размерности. Его отличительная черта — специальный порядок нумерации узлов дискретизации, что приводит к преобразованию матричной модели (5) в блочную структуру. Блочная система линейных уравнений поддается упрощению, после чего может быть решена независимо для нижней и верхней частей. Последнее обстоятельство обуславливает значительную эффективность метода.

Сформулируем матричное уравнение состояния (5) на основе схемы упорядочения D4 к конечномерной модели рассматриваемых процессов (1)–(3).

Для схемы D4 наблюдается зависимость номера узла l сетки дискретизации от текущих значений ее координат n , p и k (см. таблицу)

$$l = f_{d4}(n, p, k).$$

В таблице

$$\begin{aligned}
 V &= \frac{NPK}{2}, \quad m1 = \frac{(m-k-1)(m-k-2)}{2} + p, \\
 f2(x) &= \frac{x(x+1)(4x+5)}{6}, \quad f1(x) = \frac{x(x+1)(4x-1)}{6},
 \end{aligned}$$

$$l(x, y, z) = \begin{cases} 0, & z > x - y - 2, \\ \frac{x - y - z - 1}{2}(x - y - z - 2), & z \leq x - y - 2, \end{cases}$$

Соотношения для расчета номера узла $l = f_{d4}(n, p, k)$ в схеме D4 по текущим значениям координат $m = n + p + k$, n , p и k

m — четное		m — нечетное	
$m \leq K + 2$	$V + f2(M) + m1$	$m \leq K + 1$	$f1(L) + m1$
$K + 2 < m \leq N + 2$	$V + f2(M) + m1 - f2(M1)$	$K + 1 < m \leq N + 1$	$f1(L) + m1 - f1(L1)$
$N + 2 < m \leq P + 2$	$V + f2(M) + m1 - f2(M1) - f2(M2) - l1(m, N, k)$	$N + 1 < m \leq P + 1$	$f1(L) + m1 - f1(L1) - f1(L2) - l1(m, N, k)$
$P + 2 < m \leq K + N + 3$	$V + f2(M) + m1 - f2(M1) - f2(M2) - l1(m, N, k) - f2(M3) - l2(m, P, k)$	$P + 1 < m \leq K + N + 2$	$f1(L) + m1 - f1(L1) - f1(L2) - l1(m, N, k) - f1(L3) - l2(m, P, k)$
$K + N + 3 < m \leq K + P + 3$	$V + f2(M) + m1 - f2(M1) - f2(M2) - l1(m, N, k) - f2(M3) - l2(m, P, k) + f2(M4) + i1$	$K + N + 2 < m \leq K + P + 2$	$f1(L) + m1 - f1(L1) - f1(L2) - l1(m, N, k) - f1(L3) - l2(m, P, k) + f1(L4) + i1$
$K + P + 3 < m \leq N + P + 3$	$V + f2(M) + m1 - f2(M1) - f2(M2) - l1(m, N, k) - f2(M3) - l2(m, P, k) + f2(M4) + i1 + f2(M5) + i2$	$K + P + 2 < m \leq N + P + 2$	$f1(L) + m1 - f1(L1) - f1(L2) - l1(m, N, k) - f1(L3) - l2(m, P, k) + f1(L4) + i1 + f1(L5) + i2$
$m > N + P + 3$	$V + f2(M) + m1 - f2(M1) - f2(M2) - l1(m, N, k) - f2(M3) - l2(m, P, k) + f2(M4) + i1 + f2(M5) + i2 + f2(M6)$	$m > N + P + 2$	$f1(L) + m1 - f1(L1) - f1(L2) - l1(m, N, k) - f1(L3) - l2(m, P, k) + f1(L4) + i1 + f1(L5) + i2 + f1(L6)$

$$i1 = \frac{(m - N - K - 1)(m - N - K - 2)}{2},$$

$$l2(x, y, z) = \begin{cases} 0, & z > x - y - 2, \\ \frac{x - y - z}{2}(x - y - z - 1), & z \leq x - y - 2, \end{cases}$$

$$i2 = \frac{(m - P - K - 1)(m - P - K - 2)}{2},$$

$$L = \frac{m - 3}{2}, \quad L1 = \frac{m - K - 1}{2}, \quad L2 = \frac{m - N - 3}{2}, \quad L3 = \frac{m - P - 3}{2},$$

$$L4 = \frac{m - N - K - 3}{2}, \quad L5 = \frac{m - P - K - 3}{2}, \quad L6 = \frac{m - N - P - 3}{2},$$

$$M = \frac{m - 4}{2}, \quad M1 = \frac{m - K - 2}{2}, \quad M2 = \frac{m - N - 4}{2},$$

$$M3 = \frac{m - P - 4}{2}, \quad M4 = \frac{m - N - K - 4}{2},$$

$$M5 = \frac{m - P - K - 4}{2}, \quad M6 = \frac{m - N - P - 4}{2}.$$

Рассчитав на основании соотношений, приведенных в таблице, номера узлов l для всех $n = 1, N$; $p = 1, P$ и $k = 1, K$, заполним ими 3-мерный массив с номерами узлов сетки дискретизации. Таким образом, для определения номера узла l , имеющего координаты n, p и k , необходимо осуществить операцию выборки элемента 3-мерного массива по координатам $l = f_{d4}(n, p, k)$ (рис. 2).

Записав уравнение (1) для всех $n = 1, N$; $p = 1, P$ и $k = 1, K$ и упорядочив неизвестные $x_{n-1,p,k}$; $x_{n+1,p,k}$; $x_{n,p,k}$; $x_{n,p-1,k}$; $x_{n,p+1,k}$; $x_{n,p,k-1}$; $x_{n,p,k+1}$ по схеме D4, получаем матричное уравнение (5). Матрица коэффициентов \mathbf{A} этого уравнения имеет блочную структуру, поэтому представим (5) в блочном виде

$$\begin{bmatrix} \mathbf{A}_1 \vdots \mathbf{A}_2 \\ \dots \\ \mathbf{A}_3 \vdots \mathbf{A}_4 \end{bmatrix} \begin{bmatrix} \mathbf{X}_1 \\ \dots \\ \mathbf{X}_2 \end{bmatrix} = \begin{bmatrix} \mathbf{B}_1 \\ \dots \\ \mathbf{B}_2 \end{bmatrix}. \quad (6)$$

Детализируем структуру матриц $\mathbf{A}_1, \mathbf{A}_2, \mathbf{A}_3, \mathbf{A}_4$ и вектор-столбцов \mathbf{B}_1 и \mathbf{B}_2 , размерность которых соответственно равна $NPK/2 \times NPK/2$ и $1 \times NPK/2$.

Матрица \mathbf{A}_2 — 6-диагональная ленточного типа (рис. 3) — однозначно определена при задании совокупности выражений для расчета ее элементов и их индексов i (по вертикальному направлению) и j (горизонтальному).

На каждой строке i матрицы \mathbf{A}_2 расположены ее элементы D_{ijD} , A_{ijA} , C_{ijC} , E_{ijE} , G_{ijG} , H_{ijH} . Эти элементы определены в процедуре дискретиза-

ции уравнений (1)–(3) и содержат результат арифметических операций над их коэффициентами. Индексы $j_D, j_A, j_C, j_E, j_G, j_H$ этих элементов матрицы A_2 зависят от n, p и k .

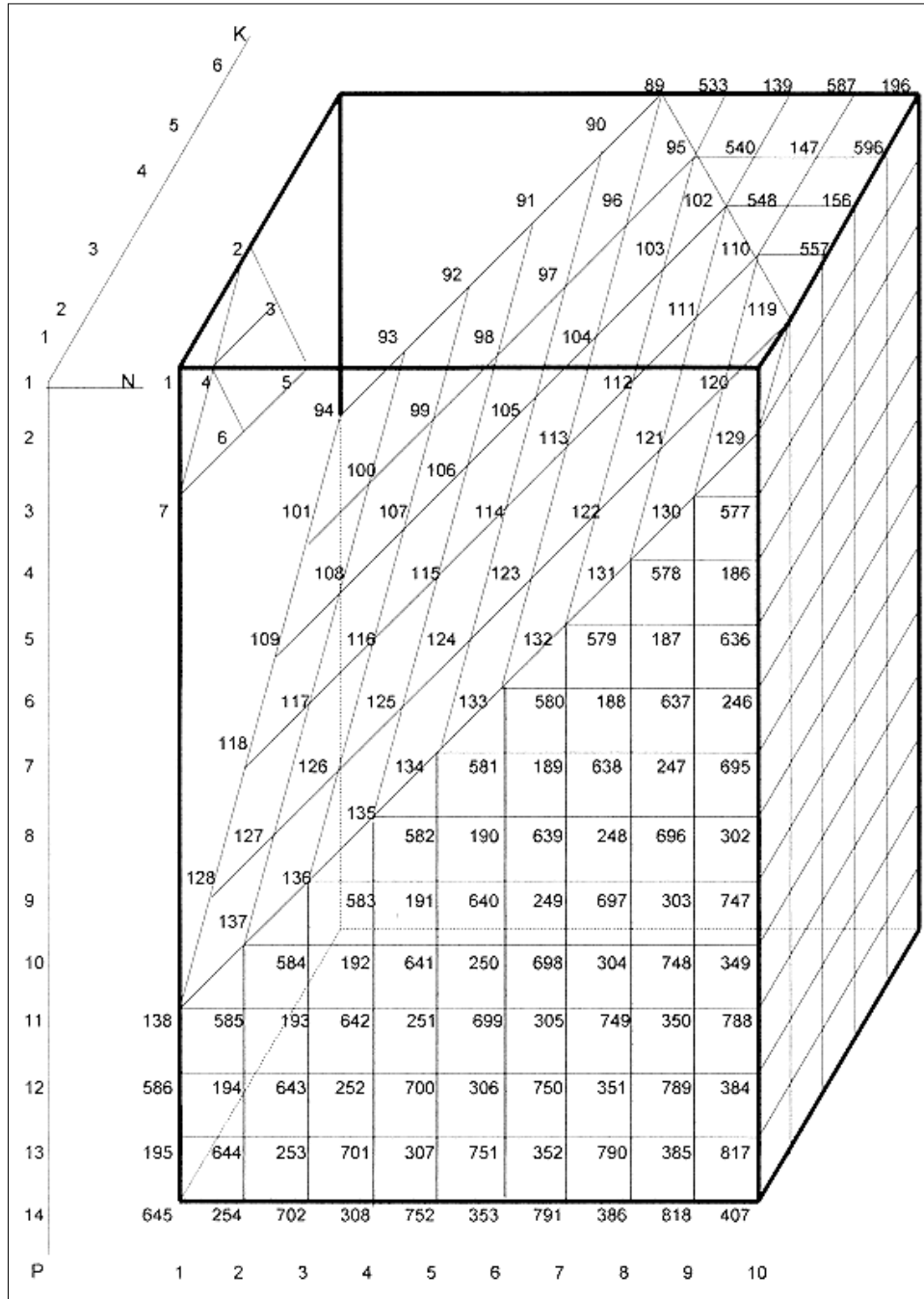


Рис. 2. Схема нумерации узлов дискретной сетки по схеме D4 ($K=6$, $N=10$, $P=14$)

Аналогично определяется матрица A_3 .

Матрицы \mathbf{A}_1 и \mathbf{A}_4 — диагональные. Их элементы B_{ij} определены так же, как и элементы D_{ijD} , A_{ijA} , C_{ijC} , E_{ijE} , G_{ijG} , H_{ijH} . Векторы-столбцы \mathbf{B}_1 и \mathbf{B}_2 являются подвекторами вектора-столбца \mathbf{B} .

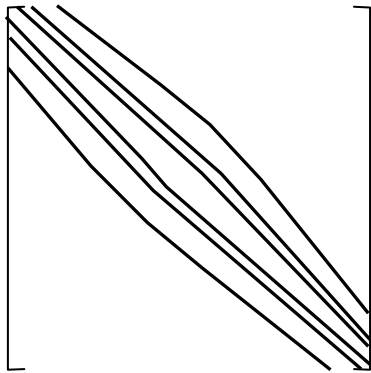


Рис.3. Схема структуры матриц коэффициентов \mathbf{A}_2 и \mathbf{A}_3

В результате применения схемы упорядочения к сеточному уравнению (1) получено матричное уравнение (5), имеющее блочную структуру (6). Для его решения применим подход, предложенный в работе [6] для решения систем линейных уравнений блочного вида.

Решим уравнение (6). Учитывая его блочную структуру, представим вектор решений в виде совокупности подвекторов.

Процедура расчета на основе стандартной схемы [6]:

1. Вектор неизвестных определяем в два этапа.

1.1. Производим исключение неизвестных на нижней половине уравнения (6), после чего оно принимает вид

$$\begin{bmatrix} \mathbf{A}_1 : \mathbf{A}_2 \\ \dots \\ \mathbf{0} : \mathbf{A}_4 \end{bmatrix} \times \begin{bmatrix} \mathbf{X}_1 \\ \dots \\ \mathbf{X}_2 \end{bmatrix} = \begin{bmatrix} \mathbf{B}_1 \\ \dots \\ \mathbf{F}' \end{bmatrix}. \quad (7)$$

1.2. Решаем систему линейных уравнений

$$\mathbf{A}'_4 * \mathbf{X}_2 = \mathbf{F}'. \quad (8)$$

2. Определяем вектор \mathbf{X}_1 , решив матричное уравнение

$$\mathbf{X}_1 = \mathbf{A}_1^{-1} * \mathbf{B}_1 - \mathbf{A}_1^{-1} * \mathbf{A}_2 * \mathbf{X}_2. \quad (9)$$

3. Ищем вектор \mathbf{X} в виде совокупности векторов \mathbf{X}_1 и \mathbf{X}_2 .

Для выполнения рассмотренного алгоритма применяется:

- процедура исключения Гаусса на нижней половине матричного уравнения (6), которая заключается в определении матрицы \mathbf{A}'_4 и вектора \mathbf{F}' ;
- эффективные алгоритмы [7], учитывающие переменную длину ленты \mathbf{A}'_4 для решения системы линейных уравнений ленточного типа (8);
- процедура решения матричного уравнения (8), реализуемая таким образом, чтобы исключить затраты памяти на хранение нулевых элементов матриц и действий с ними.

Порядок определения и хранения ненулевых элементов разреженной матрицы и вектора-столбца приведены в (10), (13), (14).

Анализ схемы упорядочения с точки зрения запросов не только основной, но и дополнительной памяти вычислительной системы показал, что на долю последней приходится значительная часть общей памяти. Поэтому

модификация данной схемы, направленная на сокращение затрат дополнительной памяти, является актуальной задачей [7, 8].

Разработка модифицированного варианта алгоритма решения системы алгебраических линейных уравнений (6) с использованием схемы упорядочения D4

Произведем модификацию алгоритма решения СЛАУ на основе схемы упорядочения D4 с целью сокращения запросов памяти вычислительной системы на ее реализацию за счет снижения затрат дополнительной памяти, необходимой для расчета и хранения элементов матрицы и вектора-столбца (7). Для 2-мерной задачи модифицированный алгоритм приведен в работах [9, 10]. Для задачи в 3-мерной постановке разработаем процедуру расчета и запоминания координат ненулевых элементов матрицы и вектора, которая требовала бы меньших затрат памяти вычислительной системы по сравнению с аналогичной при стандартной схеме.

Сформулируем свойство размещения ненулевых элементов разреженной матрицы схемы упорядочения: в каждой строке ненулевые элементы расположены в позициях, номера которых определены в массиве номеров узлов сетки дискретизации $\zeta(n, p, k)$.

$$\begin{aligned}
 j_{Q1} &= \zeta(n, p + 2, k), \quad \forall 1 \leq n \leq N, 1 \leq p \leq P - 2, 1 \leq k \leq K, \\
 j_{Q2} &= \zeta(n, p + 1, k + 1), \quad \forall 1 \leq n \leq N, 1 \leq p \leq P - 1, 1 \leq k \leq K - 1, \\
 j_{Q3} &= \zeta(n + 1, p + 1, k), \quad \forall 1 \leq n \leq N - 1, 1 \leq p \leq P - 1, 1 \leq k \leq K, \\
 j_{L1} &= \zeta(n - 1, p + 1, k), \quad \forall 2 \leq n \leq N, 1 \leq p \leq P - 1, 1 \leq k \leq K, \\
 j_{L2} &= \zeta(n, p + 1, k - 1), \quad \forall 1 \leq n \leq N, 1 \leq p \leq P - 1, 2 \leq k \leq K, \\
 j_{R1} &= \zeta(n - 2, p, k), \quad \forall 3 \leq n \leq N, 1 \leq p \leq P, 1 \leq k \leq K, \\
 j_{R2} &= \zeta(n - 1, p, k - 1), \quad \forall 2 \leq n \leq N, 1 \leq p \leq P, 2 \leq k \leq K, \\
 j_{R3} &= \zeta(n, p, k - 2), \quad \forall 1 \leq n \leq N, 1 \leq p \leq P, 3 \leq k \leq K, \\
 j_{L3} &= \zeta(n - 1, p, k + 1), \quad \forall 2 \leq n \leq N, 1 \leq p \leq P, 1 \leq k \leq K - 1, \\
 j_I &= \zeta(n, p, k), \quad \forall 1 \leq n \leq N, 1 \leq p \leq P, 1 \leq k \leq K, \\
 j_{L4} &= \zeta(n + 1, p, k - 1), \quad \forall 1 \leq n \leq N - 1, 1 \leq p \leq P, 2 \leq k \leq K, \\
 j_{Q4} &= \zeta(n, p, k + 2), \quad \forall 1 \leq n \leq N, 1 \leq p \leq P, 1 \leq k \leq K - 2, \\
 j_{Q5} &= \zeta(n + 1, p, k + 1), \quad \forall 1 \leq n \leq N - 1, 1 \leq p \leq P, 1 \leq k \leq K - 1, \\
 j_{Q6} &= \zeta(n + 2, p, k), \quad \forall 1 \leq n \leq N - 2, 1 \leq p \leq P, 1 \leq k \leq K, \\
 j_{R4} &= \zeta(n - 1, p - 1, k), \quad \forall 2 \leq n \leq N, 2 \leq p \leq P, 1 \leq k \leq K, \\
 j_{R5} &= \zeta(n, p - 1, k - 1), \quad \forall 1 \leq n \leq N, 2 \leq p \leq P, 2 \leq k \leq K,
 \end{aligned} \tag{10}$$

$$\begin{aligned}
 j_{L5} &= \zeta(n, p-1, k+1), \quad \forall 1 \leq n \leq N, \quad 2 \leq p \leq P, \quad 1 \leq k \leq K-1, \\
 j_{L6} &= \zeta(n+1, p-1, k), \quad \forall 1 \leq n \leq N-1, \quad 2 \leq p \leq P, \quad 1 \leq k \leq K, \\
 j_{R6} &= \zeta(n, p-2, k), \quad \forall 1 \leq n \leq N, \quad 3 \leq p \leq P, \quad 1 \leq k \leq K.
 \end{aligned}$$

Сформулированное свойство имеет следующую геометрическую интерпретацию. Если на сетке дискретизации, узлы которой упорядочены по схеме D_4 , выбрать узел, где номер строки матрицы образовался в результате процедуры исключения Гаусса на нижней половине системы (6), то для каждой строки номера позиций ненулевых элементов $j_{R1}, j_{R2}, j_{R3}, j_{R4}, j_{R5}, j_{R6}, j_{I1}, j_{L1}, j_{L2}, j_{L3}, j_{L4}, j_{L5}, j_{L6}, j_{Q1}, j_{Q2}, j_{Q3}, j_{Q4}, j_{Q5}, j_{Q6}$ совпадают с номерами узлов сетки дискретизации, находящимися в вершинах на гранях и в точке пересечения диагоналей 8-гранника, вершины которого находятся в узлах сетки дискретизации с индексами

$$\begin{aligned}
 R6 &= \zeta(n, p-2, k), \quad Q1 = \zeta(n, p+2, k), \\
 R1 &= \zeta(n-2, p, k), \quad Q6 = \zeta(n+2, p, k), \\
 R3 &= \zeta(n, p, k-2), \quad Q4 = \zeta(n, p, k+2).
 \end{aligned} \tag{11}$$

Пример (рис. 4). Восстановить номера позиций ненулевых элементов разреженной матрицы, расположенных в i -й строке ($i = 620$). Опишем вокруг узла с номером $1 = i = 620$ 8-гранник. Вершины его опираются на узлы сетки дискретизации, номера которых заданы соотношениями (11). Тогда номера индексов ненулевых элементов $j_{R1}, j_{R2}, j_{R3}, j_{R4}, j_{R5}, j_{R6}, j_{I1}, j_{L1}, j_{L2}, j_{L3}, j_{L4}, j_{L5}, j_{L6}, j_{Q1}, j_{Q2}, j_{Q3}, j_{Q4}, j_{Q5}, j_{Q6}$, расположенных в строке $i = 620$ разреженной матрицы, равны номерам узлов сетки дискретизации, помеченных $R1, R2, R3, R4, R5, R6, I, L1, L2, L3, L4, L5, L6, Q1, Q2, Q3, Q4, Q5, Q6$ (см. соотношения (10)).

Из изложенного выше следует, что для запоминания информации об индексах ненулевых элементов разреженной матрицы достаточно хранить массив целых чисел с номерами узлов сетки дискретизации по схеме D_4 .

Выполним процедуру исключения Гаусса на нижней половине системы линейных уравнений, представленной в матричной форме вида (6). Тогда для $n=1, N; h=1, P$ и $k=1, K$, учитывая

$$\begin{aligned}
 j_D = i_D &= \zeta(n, p-1, k), \quad j_A = i_A = \zeta(n-1, p, k), \quad j_C = i_C = \zeta(n+1, p, k), \\
 j_E = i_E &= \zeta(n, p+1, k), \quad j_H = i_H = \zeta(n, p, k+1), \\
 j_G = i_G &= \zeta(n, p, k-1), \quad j_B = i_B = \zeta(n, p, k),
 \end{aligned} \tag{12}$$

получаем соотношения, определяющие ненулевые элементы матрицы \mathbf{A}'_4 (19-диагональной, лукообразной (рис. 5)) и вектора-столбца \mathbf{F}' .

$$Q1_{i, j_{R3}} = -E_{iE} \frac{E_i}{B_i}, \quad \forall 1 \leq n \leq N, \quad 1 \leq p \leq P-2, \quad 1 \leq k \leq K,$$

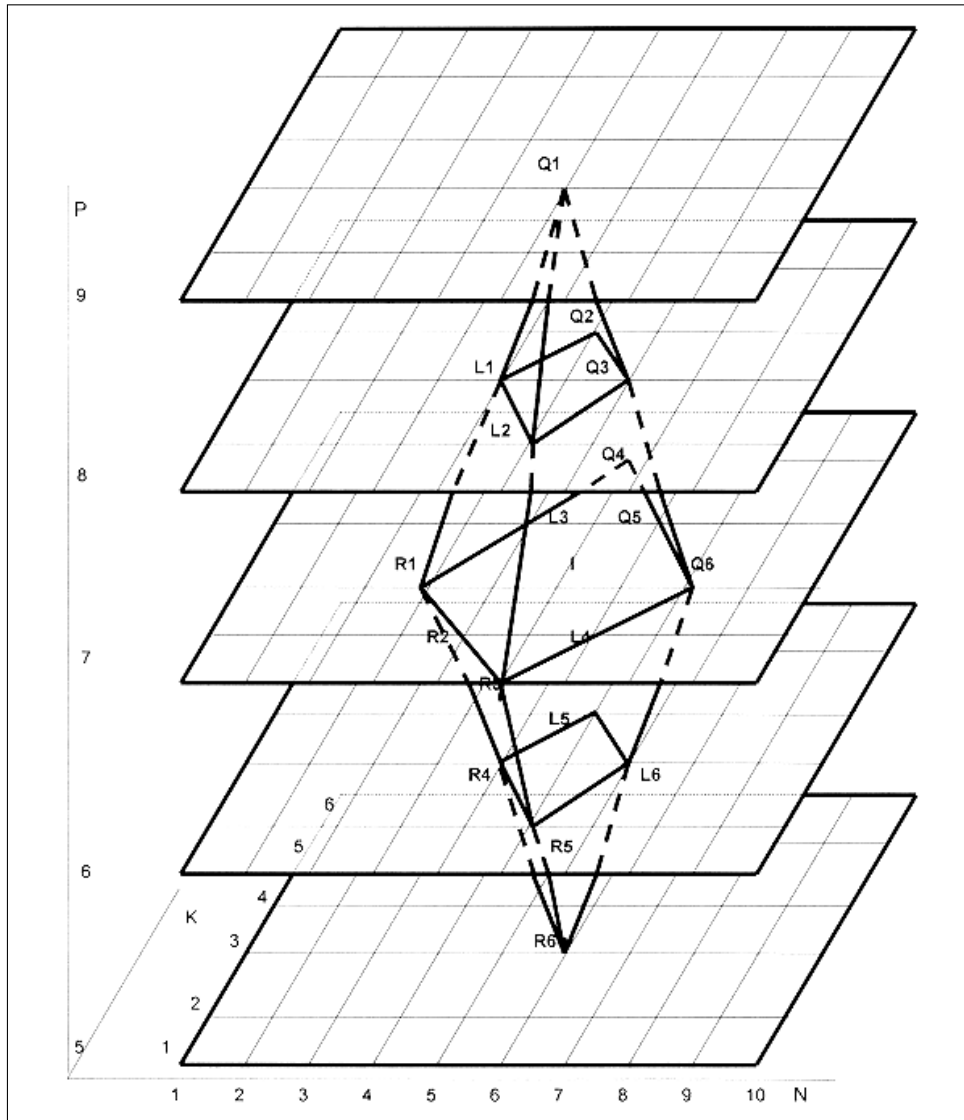


Рис. 4. Схема фрагмента сетки дискретизации

$$Q2_{i,jQ2} = -H_{iE} \frac{E_i}{B_{iE}} - E_{iH} \frac{H_i}{B_{iH}}, \quad \forall 1 \leq n \leq N, 1 \leq p \leq P-1, 1 \leq k \leq K-1,$$

$$Q3_{i,jQ3} = -E_{iC} \frac{C_i}{B_{iC}} - C_{iE} \frac{E_i}{B_{iE}}, \quad \forall 1 \leq n \leq N-1, 1 \leq p \leq P-1, 1 \leq k \leq K,$$

$$L1_{i,jL1} = -E_{iA} \frac{A_i}{B_{iA}} - A_{iE} \frac{E_i}{B_{iE}}, \quad \forall 2 \leq n \leq N, 1 \leq p \leq P-1, 1 \leq k \leq K,$$

$$L2_{i,jL2} = -G_{iE} \frac{E_i}{B_{iE}} - E_{iG} \frac{G_i}{B_{iG}}, \quad \forall 1 \leq n \leq N, 1 \leq p \leq P-1, 2 \leq k \leq K,$$

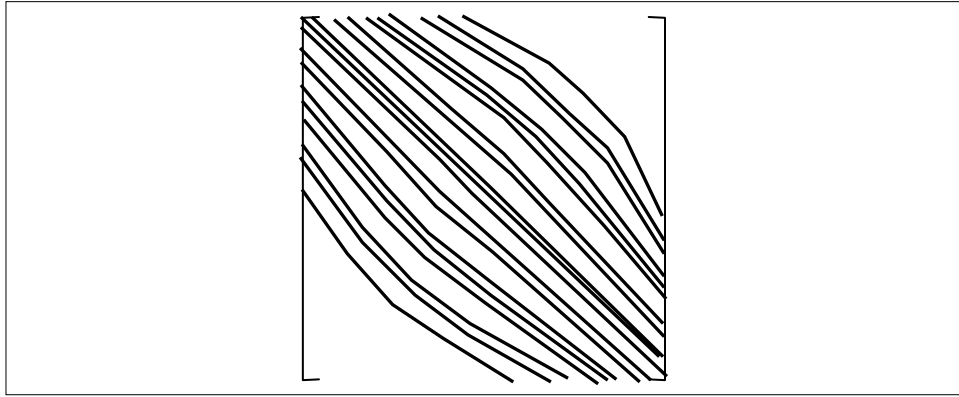


Рис. 5. Схема структуры матриц коэффициентов A'_4

$$\begin{aligned}
 R1_{i,jR3} &= -A_{iA} \frac{A_i}{B_{iA}}, \quad \forall 3 \leq n \leq N, 1 \leq p \leq P, 1 \leq k \leq K, \\
 R2_{i,jR2} &= -G_{iA} \frac{A_i}{B_{iA}} - A_{iG} \frac{G_i}{B_{iG}}, \quad \forall 2 \leq n \leq N, 1 \leq p \leq P, 2 \leq k \leq K, \\
 R3_{i,jR3} &= -G_{iG} \frac{G_i}{B_{iG}}, \quad \forall 1 \leq n \leq N, 1 \leq p \leq P, 3 \leq k \leq K, \\
 L3_{i,jL3} &= -H_{iA} \frac{A_i}{B_{iA}} - A_{iH} \frac{H_i}{B_{iH}}, \quad \forall 2 \leq n \leq N, 1 \leq p \leq P, 1 \leq k \leq K-1, \quad (13) \\
 I_{i,jI} &= B_i - E_{iD} \frac{D_i}{B_{iD}} - C_{iA} \frac{A_i}{B_{iA}} - A_{iC} \frac{C_i}{B_{iC}} - \\
 &\quad - D_{iE} \frac{E_i}{B_{iE}} - H_{iG} \frac{G_i}{B_{iG}} - G_{iH} \frac{H_i}{B_{iH}}, \\
 &\quad \forall 2 \leq n \leq N-1, 2 \leq p \leq P-1, 2 \leq k \leq K-1, \\
 L4_{i,jL4} &= -G_{iC} \frac{C_i}{B_{iC}} - C_{iG} \frac{G_i}{B_{iG}}, \quad \forall 1 \leq n \leq N-1, 1 \leq p \leq P, 2 \leq k \leq K, \\
 Q4_{i,jR3} &= -H_{iH} \frac{H_i}{B_{iH}}, \quad \forall 1 \leq n \leq N, 1 \leq p \leq P, 1 \leq k \leq K-2, \\
 Q5_{i,jQ5} &= -H_{iC} \frac{C_i}{B_{iC}} - C_{iH} \frac{H_i}{B_{iH}}, \quad \forall 1 \leq n \leq N-1, 1 \leq p \leq P, 1 \leq k \leq K-1, \\
 Q6_{i,jR3} &= -C_{iC} \frac{C_i}{B_{iC}}, \quad \forall 1 \leq n \leq N-2, 1 \leq p \leq P, 1 \leq k \leq K, \\
 R4_{i,jR4} &= -A_{iD} \frac{D_i}{B_{iD}} - D_{iA} \frac{A_i}{B_{iA}}, \quad \forall 2 \leq n \leq N, 2 \leq p \leq P, 1 \leq k \leq K,
 \end{aligned}$$

$$\begin{aligned}
 R5_{i,jR5} &= -G_{iD} \frac{D_i}{B_{iD}} - D_{iG} \frac{G_i}{B_{iG}}, \quad \forall 1 \leq n \leq N, 2 \leq p \leq P, 2 \leq k \leq K, \\
 L5_{i,jL5} &= -H_{iD} \frac{D_i}{B_{iD}} - D_{iH} \frac{H_i}{B_{iH}}, \quad \forall 1 \leq n \leq N, 2 \leq p \leq P, 1 \leq k \leq K-1, \\
 L6_{i,jL6} &= -C_{iD} \frac{D_i}{B_{iD}} - D_{iC} \frac{C_i}{B_{iC}}, \quad \forall 1 \leq n \leq N-1, 2 \leq p \leq P, 1 \leq k \leq K, \\
 R6_{i,jR6} &= -D_{iD} \frac{D_i}{B_{iD}}, \quad \forall 1 \leq n \leq N, 3 \leq p \leq P, 1 \leq k \leq K, \\
 F'_i &= B_{2i} - B_{iD} \frac{D_i}{B_{iD}} - B_{iA} \frac{A_i}{B_{iA}} - B_{iC} \frac{C_i}{B_{iC}} - \\
 &\quad - B_{iE} \frac{E_i}{B_{iE}} - B_{iG} \frac{G_i}{B_{iG}} - B_{iH} \frac{H_i}{B_{iH}} \\
 &\quad \forall 2 \leq n \leq N-1, 2 \leq p \leq P-1, 2 \leq k \leq K-1. \tag{14}
 \end{aligned}$$

В узлах, лежащих на гранях параллелепипеда в формулах (13), (14) отсутствуют слагаемые соответственно для $I_{i,jI}$ и F'_i (см. рис. 1).

$$\begin{aligned}
 E_{iD} \frac{D_i}{B_{iD}}, B_{iD} \frac{D_i}{B_{iD}}, \quad \forall p=1, C_{iA} \frac{A_i}{B_{iA}}, B_{iA} \frac{A_i}{B_{iA}}, \quad \forall n=1, \\
 A_{iC} \frac{C_i}{B_{iC}}, B_{iC} \frac{C_i}{B_{iC}}, \quad \forall n=N, D_{iE} \frac{E_i}{B_{iE}}, B_{iE} \frac{E_i}{B_{iE}}, \quad \forall p=P, \\
 H_{iG} \frac{G_i}{B_{iG}}, B_{iG} \frac{G_i}{B_{iG}}, \quad \forall k=1, G_{iH} \frac{H_i}{B_{iH}}, B_{iH} \frac{H_i}{B_{iH}}, \quad \forall k=K,
 \end{aligned}$$

где $R1_{i,jR1}, R2_{i,jR2}, R3_{i,jR3}, R4_{i,jR4}, R5_{i,jR5}, R6_{i,jR6}, I1_{i,j1}, L1_{i,jL1}, L2_{i,jL2}, L3_{i,jL3}, L4_{i,jL4}, L5_{i,jL5}, L6_{i,jL6}, Q1_{i,jQ1}, Q2_{i,jQ2}, Q3_{i,jQ3}, Q4_{i,jQ4}, Q5_{i,jQ5}, Q6_{i,jQ6}$ — ненулевые элементы разреженной матрицы A'_4 , расположенные в позициях $j_{R1}, j_{R2}, j_{R3}, j_{R4}, j_{R5}, j_{R6}, j_{L1}, j_{L2}, j_{L3}, j_{L4}, j_{L5}, j_{L6}, j_{Q1}, j_{Q2}, j_{Q3}, j_{Q4}, j_{Q5}, j_{Q6}$ (см. соотношения (10)) i -й строки; $A_{iA}, A_{iB}, A_{iC}, A_{iD}, A_{iE}, A_{iG}, A_{iH}, B_{iA}, B_{iB}, B_{iC}, B_{iD}, B_{iE}, B_{iG}, B_{iH}, C_{iA}, C_{iB}, C_{iC}, C_{iD}, C_{iE}, C_{iG}, C_{iH}, D_{iA}, D_{iB}, D_{iC}, D_{iD}, D_{iE}, D_{iG}, D_{iH}, E_{iA}, E_{iB}, E_{iC}, E_{iD}, E_{iE}, E_{iG}, E_{iH}, G_{iA}, G_{iB}, G_{iC}, G_{iD}, G_{iE}, G_{iG}, G_{iH}, H_{iA}, H_{iB}, H_{iC}, H_{iD}, H_{iE}, H_{iG}, H_{iH}$ — ненулевые элементы исходной разреженной матрицы коэффициентов A (13) векторов-столбцов коэффициентов A, B, C, D, E, G, H (4); F'_i — элементы вектора-столбца F' , расположенные в i -позиции (строке) (12);

$F_{i_A}, F_{i_B}, F_{i_C}, F_{i_D}, F_{i_E}, F_{i_G}, F_{i_H}$ — элементы вектора-столбца правой части системы, расположенные в позициях $i_A, i_B, i_C, i_D, i_E, i_G, i_H$, (12).

Количество элементов в ленте $\frac{NPK}{2}(2NK + 1) - (KN + 1)KN$.

Количество ненулевых элементов в ленте $19\frac{NPK}{2} - 6(PK + PN + NK) + 2(P + N + K)$.

Максимальная ширина ленты $2NK + 1$.

Заметим, что модифицированный вариант алгоритма по схеме D4, базирующийся на соотношениях (10)–(14), требует для запоминания индексов ненулевых элементов разреженной матрицы коэффициентов \mathbf{A}'_4 и вектора-столбца \mathbf{F}' (хранения массива номеров узлов $\zeta(n, p, k)$). Из этого следует, что накладные запросы памяти вычислительной системы на реализацию модифицированного варианта алгоритма по схемы D4 равны NPK .

Теперь сформулируем алгоритм решения исходной системы (1)–(3), представленной в матричном виде соотношением (6) на основе применения модифицированного варианта алгоритма с использованием схемы упорядочения D4 по шагам.

1. Задание исходных значений: $m = 0$, $X_{n,p,k}^0$, $u_{n,p,k}$, $\mu_{n,p,k}$, $\sigma_{n,p,k}$, $N, P, K, U_j, t_k, \Delta t, \Delta x, \Delta y, \Delta z$ для $n = 1, N, p = 1, P, k = 1, K$.

2. Нумерация узлов и определение позиций ненулевых элементов разреженной матрицы: нумерация узлов сетки дискретизации согласно схеме упорядочения D4 (см. таблицу) и формирование массива номеров узлов $= \zeta(n, p, k)$. Определение позиций $i_A, i_B, i_C, i_D, i_E, i_G, i_H$ (12) ненулевых элементов матрицы коэффициентов \mathbf{A} и вектора-столбца \mathbf{B} с учетом ограничений на n, p, k . Определение позиций $j_{R1}, j_{R2}, j_{R3}, j_{R4}, j_{R5}, j_{R6}, j_{L1}, j_{L2}, j_{L3}, j_{L4}, j_{L5}, j_{L6}, j_{Q1}, j_{Q2}, j_{Q3}, j_{Q4}, j_{Q5}, j_{Q6}$ ненулевых элементов матрицы \mathbf{A}'_4 (10).

3. Расчет элементов B_{1i} ($1 \leq i \leq NPK/2$) и B_{2i} ($NPK/2 + 1 \leq i \leq NPK$). Формирование векторов-столбцов \mathbf{B}_1 и \mathbf{B}_2 .

4. Расчет элементов F'_i ($NPK/2 + 1 \leq i \leq NPK$) (14). Формирование вектора-столбца \mathbf{F}' .

5. Расчет ненулевых элементов матрицы \mathbf{A} . Заполнение векторов-столбцов $\mathbf{A}, \mathbf{B}, \mathbf{C}, \mathbf{D}, \mathbf{E}, \mathbf{G}, \mathbf{H}$.

6. Расчет элементов $R1_{i,j_{R1}}, R2_{i,j_{R2}}, R3_{i,j_{R3}}, R4_{i,j_{R4}}, R5_{i,j_{R5}}, R6_{i,j_{R6}}, L1_{i,j_{L1}}, L2_{i,j_{L2}}, L3_{i,j_{L3}}, L4_{i,j_{L4}}, L5_{i,j_{L5}}, L6_{i,j_{L6}}, Q1_{i,j_{Q1}}, Q2_{i,j_{Q2}}, Q3_{i,j_{Q3}}, Q4_{i,j_{Q4}}, Q5_{i,j_{Q5}}, Q6_{i,j_{Q6}}$ (13). Формирование матрицы \mathbf{A}'_4 .

7. Решение системы линейных уравнений (8). Определение вектора-столбца решений \mathbf{X}_2^{m+1} .

8. Решение системы линейных уравнений (9). Определение вектора-столбца решений \mathbf{X}_1^{m+1} .

9. Формирование вектора-столбца решений \mathbf{X}^{m+1} из \mathbf{X}_1^{m+1} и \mathbf{X}_2^{m+1} .

10. Переупорядочение вектора-столбца \mathbf{X}^{m+1} в массив $X_{n,p,k}^{m+1}$ для $n=1, N$, $p=1, P$, $k=1, K$ и сохранение его в памяти.

11. Если $m < t_k$, то $m = m + 1$ и переход к 3, иначе переход к 12.

12. Окончание алгоритма.

Для реализации представленного алгоритма требуется применение программ, реализующих методы решения системы линейных уравнений большой размерности с матрицей коэффициентов ленточного типа. Такие методы рассмотрены в работах [8, 11].

Предложенный подход и реализованный алгоритм обработки исходной информации системы атмосферного мониторинга и прогнозирования состояния воздушного бассейна позволяет существенно сократить время запаздывания поступления информации для лиц, принимающих решения, и, как следствие, обеспечить принятие и реализацию решений в динамике возможного отклонения технологических и других производственных процессов от штатных режимов.

ЛИТЕРАТУРА

1. Марчук Г.И., Кондратьев К.Я. Приоритеты глобальной экологии. — М.: Наука, 1992. — 261 с.
2. Примак А.В., Кафаров В.В., Качиашивили К.И. Системный анализ контроля и управления качеством воздуха и воды. — Киев: Наук. думка, 1991. — 360 с.
3. Price H.S. and Coats K.H. Direct methods in reservoir simulation // Trans. SPE of AIME. — 1974. — **14**, № 3. — P. 295–308.
4. Ажогин В.В., Згуровский М.З., Корбич Ю. Методы фильтрации и управления стохастическими процессами с распределенными параметрами. — Киев: Выща шк., 1988. — 448 с.
5. Фарлоу Стенли Дж. Уравнения с частными производными для научных работников и инженеров. — М.: Мир, 1985. — 383 с.
6. Азиз Х., Сеттари Э. Математическое моделирование пластовых систем. — М.: Недра, 1982. — 407 с.
7. Джордж А., Лю Дж. Численное решение больших разреженных систем уравнений. — М.: Мир, 1984. — 333 с.
8. Писсанецки С. Технология разреженных матриц. — М.: Мир, 1988. — 410 с.
9. Згуровский М.З., Новиков А.Н. Системный анализ стохастических распределенных процессов. — Киев: КПИ, 1988. — 204 с.
10. Згуровский М.З., Новиков А.Н. Анализ и управление односторонними физическими процессами. — Киев: Наук. думка, 1996. — 328 с.
11. Хорн Р., Джонсон Ч. Матричный анализ. — М.: Мир, 1989. — 655 с.

Поступила 03.02.2004